

# Потеря устойчивости нулевого состояния равновесия одной краевой задачи с дополнительной внутренней связью

Л.И. Ивановский

ЯрГУ им. П.Г. Демидова

Объединенный институт математики и компьютерных наук им. А.Н. Колмогорова

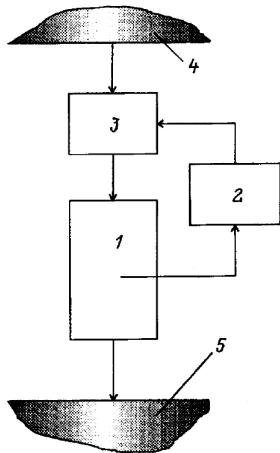
$$\dot{T} = T'', \quad (1)$$

$$T(0, t) = 0, \quad T'(1, t) = f(1 - T(x_0, t))\sigma(1 - T(x_0, t)), \quad (2)$$

$$t \geq 0, \quad x \in [0, 1], \quad x_0 \in [0, 1]$$

Rudiyi A.S. Theoretical Fundamentals of the Method for Thermal Diffusivity Measurements from Auto-Oscillation Parameters in a System with a Thermal Feedback // International Journal of Thermophysics, 1993, vol. 14, no. 1, pp. 159 – 172.

# Физическая модель системы стабилизации



- 1) Распределенный объект управления, 2) петля обратной связи, 3) контроллер, 4) источник энергии, 5) термостат

$$f \equiv \left(1 - T\left(\frac{1}{2}, t\right)\right)^2$$

Rudyi A.S. Self-excited oscillations in a parabolic system with nonlinear external feedback // Tech. Phys., 1997, vol.42, no. 5, pp. 561 – 563.

$$\dot{T} = \beta T'' + f(T), \quad (3)$$

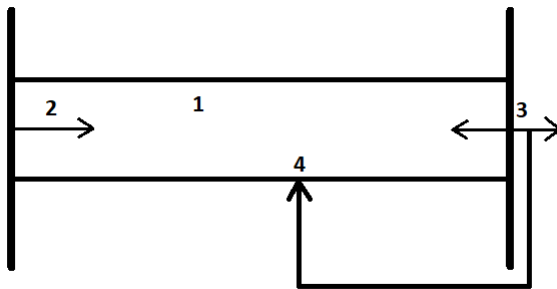
$$T'(0, t) = 0, \quad T'(1, t) = \alpha T(x_0, t). \quad (4)$$

$$t \geq 0, \quad x \in [0, 1]$$

$$\beta > 0, \quad x_0 \in [0, 1]$$

$$\tau = \beta t$$

# Физическая модель системы регулирования



- 1) стержень, 2) направление распространения тепла от источника, 3) точка выхода тепла, 4) точка измерения температуры на стержне, которая определяет обратную связь

$$\dot{N} = \beta N'' + r(1 - N^2)N, \quad (5)$$

$$N'(0, t) = 0, \quad N'(1, t) = \alpha N(x_0, t - \tilde{T}), \quad (6)$$

$$t \geq 0, \quad x \in [0, 1]$$

$$\tilde{T} > 0, \quad x_0 \in [0, 1]$$

## Краевая задача с отклонением в краевом условии

$$\dot{u} = u'' + \gamma u, \quad (7)$$

$$u'(0, t) = 0, \quad u'(1, t) = \alpha u(x_0, t) + \beta u^3(x_0, t), \quad (8)$$

$$t \geq 0, \quad x \in [0, 1].$$

$$\alpha, \beta, \gamma \in \mathbb{R}, \quad x_0 \in [0, 1).$$

Ивановский Л.И. Динамика одной системы диффузионно связанных дифференциальных уравнений с дополнительной внутренней связью  
// Известия высших учебных заведений. Поволжский регион.  
Физико-математические науки, 2020, № 3 (55). С. 15–30.



# Краевая задача с дополнительной внутренней связью

$$\dot{u} = u'' + \gamma u - u^3, \quad (9)$$

$$u'(0, t) = 0, \quad u'(1, t) = \alpha u(x_0, t), \quad (10)$$

$$t \geq 0, \quad x \in [0, 1].$$

$$\alpha, \gamma \in \mathbb{R}, \quad x_0 \in [0, 1).$$

# Цепочка уравнений с диффузионным взаимодействием

$$\dot{u}_j = N^2(u_{j+1} - 2u_j + u_{j-1}) + \gamma u_j - u_j^3, \quad j = \overline{1, N}, \quad (11)$$

$$u_0 = u_1, \quad u_{N+1} = u_N + \frac{\alpha}{N} u_k, \quad 1 \leq k < N, \quad (12)$$

$$u_j = u_j(t), \quad t \geq 0, \quad \alpha, \gamma \in \mathbb{R}.$$



# Линеаризованная в нуле система уравнений

$$\dot{u}_j = N^2(u_{j+1} - 2u_j + u_{j-1}) + \gamma u_j, \quad j = \overline{1, N}, \quad (13)$$

$$u_0 = u_1, \quad u_{N+1} = u_N + \frac{\alpha}{N} u_k, \quad 1 \leq k < N, \quad (14)$$

# Построение характеристического уравнения

$$u_j = e^{\lambda t} \operatorname{ch} \delta x_j,$$

$$x_j = -\frac{1}{2N} + \frac{j}{N}.$$

- $j \leq N - 1 :$

$$\delta = 2N \operatorname{arsh} \frac{\sqrt{-\gamma + \bar{\lambda}}}{2N}. \quad (15)$$

- $j = N :$

$$\alpha = \frac{\sqrt{-\gamma + \bar{\lambda}} \operatorname{sh} \delta}{\operatorname{ch} \delta x_k}. \quad (16)$$

## Потеря устойчивости нулевого решения

- $\lambda = 0$  :

$$\alpha_u = \frac{\sqrt{-\gamma} \operatorname{sh} \delta_u}{\operatorname{ch} \delta_u x_k}, \quad (17)$$

$$\delta_u = 2N \operatorname{arsh} \frac{\sqrt{-\gamma}}{2N}$$

- $\lambda = \pm i\omega$  :

$$\alpha_c = \frac{\sqrt{-\gamma + i\omega} \operatorname{sh} \delta_c}{\operatorname{ch} \delta_c x_k}, \quad (18)$$

$$\delta_c = 2N \operatorname{arsh} \frac{\sqrt{-\gamma + i\omega}}{2N}.$$

$$N = 50$$

## Предельный случай

$$N \rightarrow \infty : \quad \delta \rightarrow \sqrt{-\gamma + \lambda}.$$

$$\alpha = \frac{\sqrt{-\gamma + \lambda} \operatorname{sh} \sqrt{-\gamma + \lambda}}{\operatorname{ch} \sqrt{-\gamma + \lambda} x_0}. \quad (19)$$

- $\lambda = 0 :$

$$\alpha_u = \frac{\sqrt{-\gamma} \operatorname{sh} \sqrt{-\gamma}}{\operatorname{ch} \sqrt{-\gamma} x_0}.$$

- $\lambda = \pm i\omega :$

$$\alpha_c = \frac{\sqrt{-\gamma + i\omega} \operatorname{sh} \sqrt{-\gamma + i\omega}}{\operatorname{ch} \sqrt{-\gamma + i\omega} x_0}.$$

## Построение зависимости $\alpha_c(\gamma)$

- $\gamma = 0, x_0 = 0$  :

$$\begin{cases} \operatorname{tg} y + \operatorname{th} y = 0, \\ \alpha_c = y(\operatorname{sh} y \cos y - \operatorname{ch} y \sin y), \end{cases} \quad (20)$$

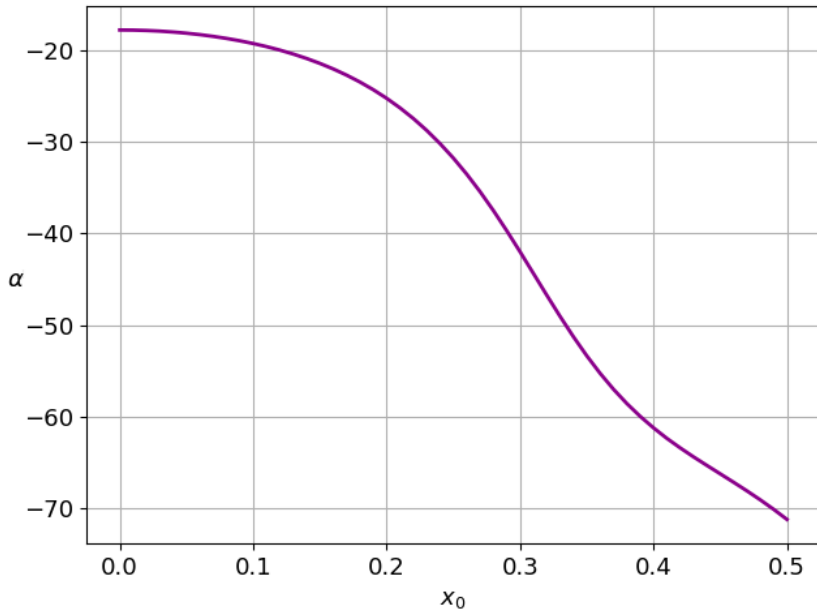
$$y = \sqrt{\frac{\omega}{2}}.$$

- $\gamma = 0, x_0 \neq 0$  :

$$\begin{cases} \frac{\operatorname{sh} y \cos y + \operatorname{ch} y \sin y}{\operatorname{sh} y \cos y - \operatorname{ch} y \sin y} - \operatorname{tg} y x_0 \operatorname{th} y x_0 = 0, \\ \alpha_c = \frac{y \operatorname{sh} y \cos y - y \operatorname{ch} y \sin y}{\operatorname{ch} y x_0 \cos y x_0}. \end{cases} \quad (21)$$

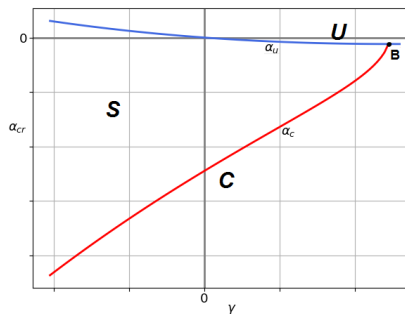
- $\gamma \neq 0, x_0 \neq 0$ .

Численные результаты:  $\alpha_c(x_0)$  при  $\gamma = 0$

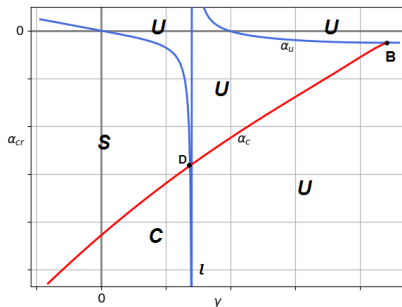




# Визуализация критических зависимостей



a)  $k = 1$  ( $x_0 = 0.01$ )

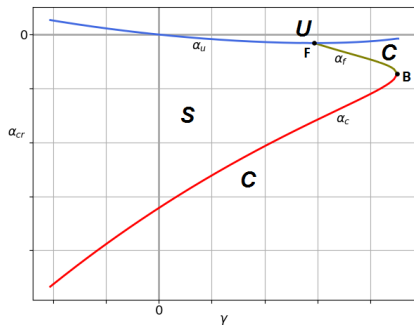


б)  $k = 26$  ( $x_0 = 0.51$ )

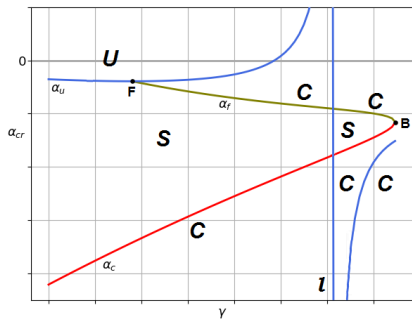
$$B = (\gamma_*, \alpha_*) : \quad \gamma_* > 0, \alpha_* < 0$$

$$D = (\hat{\gamma}, \hat{\alpha}) : \quad 0 < \hat{\gamma} < l, \hat{\alpha} < 0$$

# Визуализация критических зависимостей



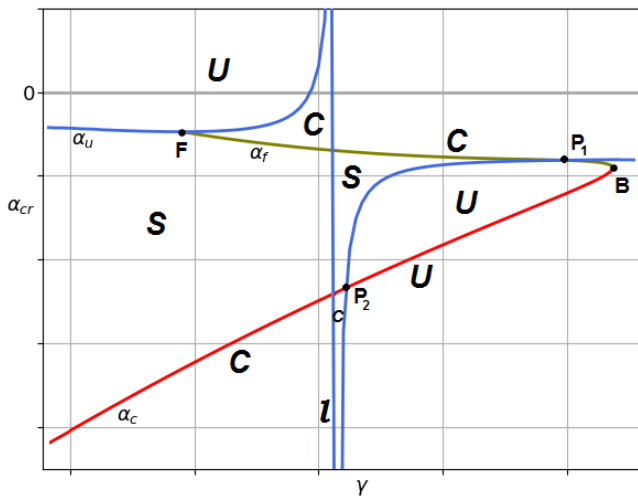
a)  $k = 22$  ( $x_0 = 0.43$ )



б)  $k = 24$  ( $x_0 = 0.47$ )

$$F = (\bar{\gamma}, \bar{\alpha}) : \quad 0 < \bar{\gamma} < \gamma_*, \quad 0 > \bar{\alpha} > \alpha_*$$

# Визуализация критических зависимостей



$$k = 25 \ (x_0 = 0.49)$$

$$P_1 = (\gamma_1, \alpha_1), P_2 = (\gamma_2, \alpha_2) : \quad \gamma_* > \gamma_1 > \gamma_2 > l$$

$$\Gamma_u = \begin{cases} \gamma_*, & 1 \leq k \leq 17, \\ \overline{\gamma}, & 18 \leq k \leq 25, \\ \hat{\gamma}, & 26 \leq k \leq 50. \end{cases} \quad (22)$$

$$\Gamma_f = \begin{cases} \gamma_*, & 18 \leq k \leq 24, \\ \gamma_1, & k = 25. \end{cases} \quad (23)$$

$$\Gamma_c = \begin{cases} \gamma_*, & 1 \leq k \leq 24, \\ \gamma_2, & k = 25, \\ \hat{\gamma}, & 26 \leq k \leq 50. \end{cases} \quad (24)$$

$$\frac{\sqrt{-\gamma} \operatorname{sh} \delta_u}{\operatorname{ch} \delta_u x_{25}} - \frac{\sqrt{-\gamma + i\omega} \operatorname{sh} \delta_c}{\operatorname{ch} \delta_c x_{25}} = 0 \quad (25)$$

## Лемма

Для всех значений  $\gamma \leq \Gamma_u$ , где  $\Gamma_u$  вычисляется по формуле (22) и  $\gamma_1 \geq \gamma \geq \gamma_2$ , где  $\gamma_1, \gamma_2$  являются корнями трансцендентного уравнения (25), удовлетворяющими условию  $\gamma_* > \gamma_1 > \gamma_2 > l$ , критическая зависимость  $\alpha_u(\gamma)$ , рассчитываемая по формуле (17), позволяет выделить область параметров  $(\gamma, \alpha)$  с устойчивым нулевым решением системы (11), (12) и области с двумя состояниями равновесия в малой окрестности неустойчивого нулевого решения.

## Лемма

Для всех значений  $\bar{\gamma} \leq \gamma \leq \Gamma_f$ , где  $\Gamma_f$  вычисляется по формуле (23), и  $\gamma \leq \Gamma_c$ , где  $\Gamma_c$  вычисляется по формуле (24), критические зависимости  $\alpha_f(\gamma)$  и  $\alpha_c(\gamma)$ , рассчитываемые из уравнения (18), позволяют выделить область параметров  $(\gamma, \alpha)$  с устойчивым нулевым решением системы (11), (12) и области, для которых наблюдается наличие цикла в малой окрестности неустойчивого нулевого решения.

$$u_j = \sqrt{\varepsilon} u_{j,0} + \varepsilon u_{j,1} + \varepsilon^{\frac{3}{2}} u_{j,2} + O(\varepsilon^2), \quad j = \overline{1, N}. \quad (26)$$

$$u_j = u_j(s), \quad s = \varepsilon t,$$

$$\varepsilon = |\alpha - \alpha_{cr}|, \quad \varepsilon \ll 1.$$

## Случай дивергентной потери устойчивости

- $\lambda = 0$  :  $\varepsilon = \alpha - \alpha_u$ ,

$$\dot{u}_{j,0} = N^2(u_{j+1,0} - 2u_{j,0} + u_{j-1,0}) + \gamma u_{j,0}, \quad (27)$$

$$u_{0,0} = u_{1,0}, \quad u_{N+1,0} = u_{N,0} + \frac{\alpha_u}{N} u_{k,0}, \quad 1 \leq k < N \quad (28)$$

$$u_{j,0} = \rho(s) \operatorname{ch} \delta_u x_j,$$

$$\alpha_u = \frac{\sqrt{-\gamma} \operatorname{sh} \delta_u}{\operatorname{ch} \delta_u x_k}, \quad \delta_u = 2N \operatorname{arsh} \frac{\sqrt{-\gamma}}{2N}, \quad x_j = -\frac{1}{2N} + \frac{j}{N}.$$

## Случай дивергентной потери устойчивости

$$\dot{u}_{j,2} + \frac{\partial u_{j,0}}{\partial s} = N^2(u_{j+1,2} - 2u_{j,2} + u_{j-1,2}) + \gamma u_{j,2} - u_{j,2}^3, \quad (29)$$

$$u_{0,2} = u_{1,2}, \quad u_{N+1,2} = u_{N,2} + \frac{\alpha_u}{N} u_{k,0}, \quad (30)$$

$$u_{j,2} = \operatorname{ch} \delta_u x_j.$$



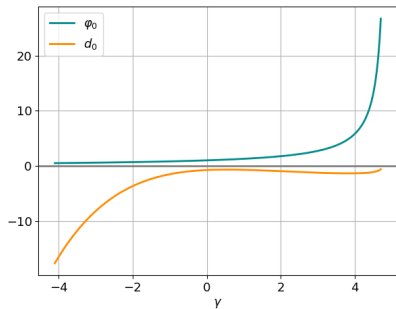
## Случай дивергентной потери устойчивости

$$\rho' = \phi_0 \rho + d_0 \rho^3, \quad (31)$$

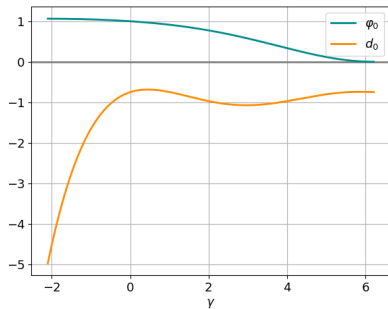
$$\phi_0 = \frac{2\delta_u \operatorname{ch} \delta_u x_k}{\delta_u \operatorname{ch} \delta_u + \operatorname{sh} \delta_u - \alpha_u x_k \operatorname{sh} \delta_u x_k}, \quad (32)$$

$$d_0 = \frac{3\delta_u^2 \operatorname{sh} 3\delta_u - \alpha_u \delta_u \operatorname{ch} 3\delta_u x_k}{16(\delta_u \operatorname{ch} \delta_u + \operatorname{sh} \delta_u - \alpha_u x_k \operatorname{sh} \delta_u x_k)} - \frac{3}{4}. \quad (33)$$

# Графики $\phi_0(\gamma)$ и $d_0(\gamma)$

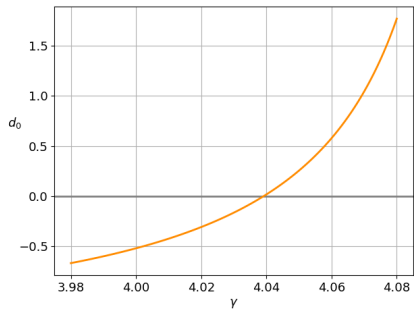


(a)  $k = 17$  ( $x_0 = 0.33$ )

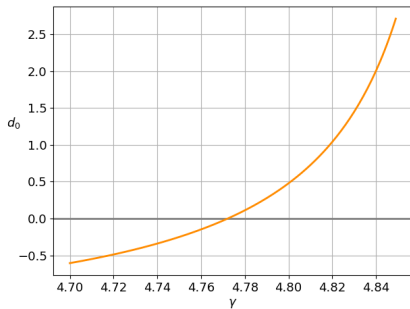


(6)  $k = 32$  ( $x_0 = 0.63$ )

# Графики $d_0(\gamma)$

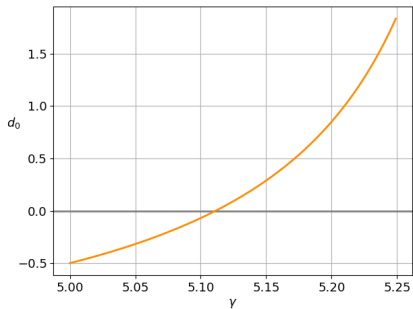


(a)  $k = 1$  ( $x_0 = 0.01$ ),  $\gamma_* \approx 4.116$

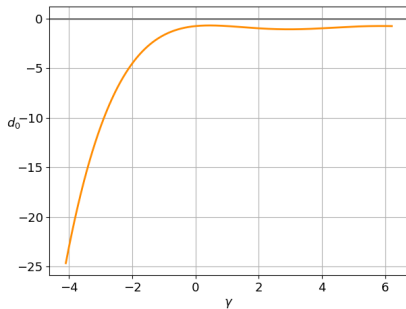


(б)  $k = 17$  ( $x_0 = 0.33$ ),  $\gamma_* \approx 4.896$

# Графики $d_0(\gamma)$



(a)  $k = 20$  ( $x_0 = 0.39$ ),  $\bar{\gamma} \approx 5.375$



(б)  $k = 32$  ( $x_0 = 0.63$ ),  $l \approx 6.217$

## Случай колебательной потери устойчивости

- $\lambda = \pm i\omega$  :  $\varepsilon = \alpha_c - \alpha$ ,

$$\dot{u}_{j,0} = N^2(u_{j+1,0} - 2u_{j,0} + u_{j-1,0}) + \gamma u_{j,0}, \quad (34)$$

$$u_{0,0} = u_{1,0}, \quad u_{N+1,0} = u_{N,0} + \frac{\alpha_c}{N} u_{k,0}, \quad 1 \leq k < N \quad (35)$$

$$u_{j,0} = z(s)e^{i\omega t} \operatorname{ch} \delta_c x_j + \overline{z(s)}e^{-i\omega t} \overline{\operatorname{ch} \delta_c x_j},$$

$$\alpha_c = \frac{\sqrt{-\gamma + i\omega} \operatorname{sh} \delta_c}{\operatorname{ch} \delta_c x_k}, \quad \delta_c = 2N \operatorname{arsh} \frac{\sqrt{-\gamma + i\omega}}{2N}, \quad x_j = -\frac{1}{2N} + \frac{j}{N}.$$

## Случай колебательной потери устойчивости

$$\dot{u}_{j,2} + \frac{\partial u_{j,0}}{\partial s} = N^2(u_{j+1,2} - 2u_{j,2} + u_{j-1,2}) + \gamma u_{j,2} - u_{j,2}^3, \quad (36)$$

$$u_{0,2} = u_{1,2}, \quad u_{N+1,2} = u_{N,2} + \frac{\alpha_c}{N} u_{k,0}, \quad 1 \leq k < N, \quad (37)$$

$$u_{j,2} = e^{i\omega t} \operatorname{ch} \delta_c x_j.$$

## Случай колебательной потери устойчивости

$$z' = (\phi_0 + i\psi_0)z + (d_0 + ic_0)z|z|^2, \quad (38)$$

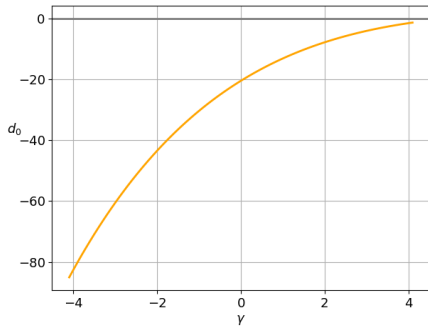
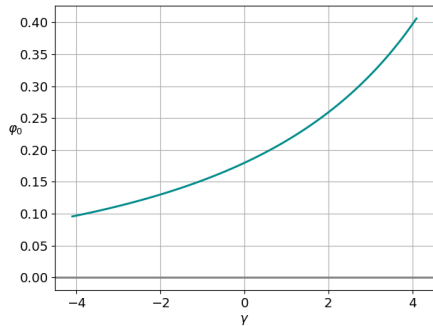
$$\phi_0 = -\operatorname{Re} \left( \frac{2\delta_c \operatorname{ch} \delta_c x_k}{\delta_c \operatorname{ch} \delta_c + \operatorname{sh} \delta_c - \alpha_c x_k \operatorname{sh} \delta_c x_k} \right),$$

$$d_0 = \operatorname{Re} \left( \frac{3\delta_c (G(\chi) + G(\eta) + 2G(\overline{\delta_c}))}{2(\delta_c \operatorname{ch} \delta_c + \operatorname{sh} \delta_c - \alpha_c x_k \operatorname{sh} \delta_c x_k)} \right),$$

$$\chi = \delta_c + 2\operatorname{Re} \delta_c, \quad \eta = \delta_c + 2\operatorname{Im} \delta_c,$$

$$G(a) = \frac{\alpha_c \operatorname{ch} ax_k - a \operatorname{sh} a}{a^2 - \delta_c^2}.$$

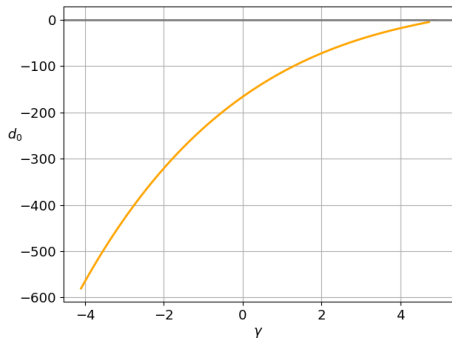
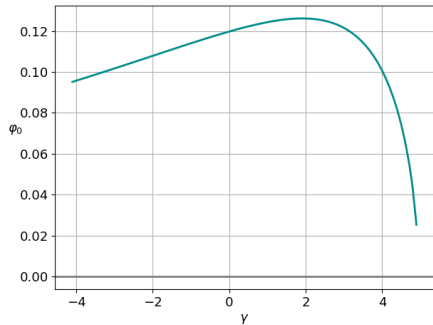
# Графики $\phi_0(\gamma)$ и $d_0(\gamma)$



$$k = 1 \ (x_0 = 0.01), \quad \alpha_{cr} = \alpha_c$$

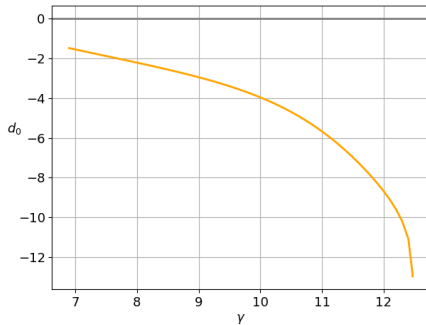
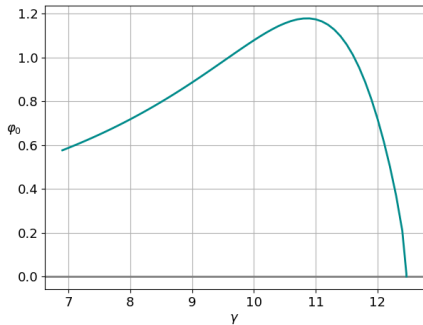


# Графики $\phi_0(\gamma)$ и $d_0(\gamma)$



$$k = 17 \ (x_0 = 0.33), \quad \alpha_{cr} = \alpha_c$$

# Графики $\phi_0(\gamma)$ и $d_0(\gamma)$



$$k = 24 \ (x_0 = 0.47), \quad \alpha_{cr} = \alpha_f$$

## Теорема

*Для системы дифференциальных уравнений (11), (12)  
 $\exists \tilde{\gamma} < \gamma_* : \gamma < \tilde{\gamma}$  нулевое состояние равновесия теряет свою  
устойчивость дивергентным способом.*

## Теорема

*Для системы дифференциальных уравнений (11), (12)  $\forall \gamma < \gamma_*$   
нулевое состояние равновесия теряет свою устойчивость  
колебательным способом.*

# Потеря устойчивости нулевого состояния равновесия одной краевой задачи с дополнительной внутренней связью

Л.И. Ивановский

ЯрГУ им. П.Г. Демидова

Объединенный институт математики и компьютерных наук им. А.Н. Колмогорова